

● Kvantmekanik

Schrödinger ekvationen }
Klein-Gordon ekvationen } se boken 1.2
Dirac ekvationen }

Relativistisk kvantmekanik

$\Psi(t, \vec{r})$: Den komplexa vågfunktionen är inte en observabel
dvs vi kan beräkna den men vi kan inte mäta den.
Trots detta antar vi att total kännedom om Ψ
betyder att vi har all information om systemet.

$|\Psi(t, \vec{r})|^2 d^3x$: Sannolikheten att hitta en partikel i volymelementet d^3x i positionen \vec{r} vid tiden t .

$$\left. \begin{array}{l} \hat{P} = -i\nabla \\ \hat{T} = -\frac{1}{2m}\nabla^2 \\ \hat{E} = i\frac{\partial}{\partial t} \end{array} \right\} \text{Operatorer som när de verkar på } \Psi \text{ ger observerbara storheter.}$$

$$\begin{aligned} \langle \hat{p} \rangle &= \int \Psi^*(t, \vec{r}) \hat{p} \Psi(t, \vec{r}) d\vec{r} = & \text{Väntevärdet (eller medelvärdet)} \\ &= \int \hat{p} |\Psi(t, \vec{r})|^2 d\vec{r} & \text{av rörelsemängden } \hat{p} \text{ när systemet} \\ && \text{befinner sig i tillståndet } \Psi(t, \vec{r}). \end{aligned}$$

Fri partikel - klassiskt: $E = \frac{1}{2m} \vec{p}^2$

Fri partikel - relativistiskt: $E^2 = m^2 + \vec{p}^2$

Fri partikel - kvantmekaniskt:
(Schrödinger ekvationen) $i\frac{\partial}{\partial t} \Psi(r, t) = -\frac{1}{2m} \nabla^2 \Psi(r, t)$

Fri partikel - kvantmekaniskt +
relativistiskt:
(Klein-Gordon ekvationen) $-\frac{\partial^2 \Psi}{\partial t^2} = m^2 \Psi - \nabla^2 \Psi$

Klein-Gordon ekvationen: $-\frac{\partial^2 \Psi}{\partial t^2} = m^2 \Psi - \nabla^2 \Psi$ spin=0

PROBLEM: I) $\frac{\partial \Psi}{\partial t^2} \Rightarrow$ Negativa sannolikheter

II) $E = \pm \sqrt{p^2 + m^2} \Rightarrow$ Partiklar med negativ energi

Dirac ekvationen: $-\frac{\partial \Psi}{\partial t} = \underline{\alpha}_1 \frac{\partial \Psi}{\partial x} + \underline{\alpha}_2 \frac{\partial \Psi}{\partial y} + \underline{\alpha}_3 \frac{\Psi}{\partial z} + i m \beta \Psi$
 (för spin=1/2 partiklar)

Intaganden:

I) Intör antipartiklar med positiv laddning (positroner) och låt dessa ha negativ energi

II) Intör en våg funktion med två komponenter $\Psi = \begin{pmatrix} \Psi_{+} \\ \Psi_{-} \end{pmatrix}$ en sk. spinor. Ψ_{+} ger sannolikheten att partikeln har spin upp och Ψ_{-} att partikeln har spin ner.

III) Dels våg funktionen ytterligare för att ta hänsyn till att det finns både partiklar och antipartiklar. Intör därför en våg funktions med fyra komponenter:

$$\Psi = \begin{pmatrix} \Psi_1 \\ \Psi_2 \\ \Psi_3 \\ \Psi_4 \end{pmatrix}$$

Dirac ekvationen

$$-\frac{\partial \Psi}{\partial t} = \sum_{j=1}^3 \alpha_j \frac{\partial \Psi}{\partial x_j} + i m \beta \Psi \quad \text{där } \Psi = \begin{pmatrix} \Psi_1 \\ \Psi_2 \\ \Psi_3 \\ \Psi_4 \end{pmatrix} \quad \text{och } \alpha_1, \alpha_2, \alpha_3 \text{ och } \beta \text{ är matriser}$$

$$\begin{aligned} -\frac{\partial \Psi_1}{\partial t} &= \begin{pmatrix} 0 & 0 & 0 & 1 \end{pmatrix} \cdot \begin{pmatrix} \frac{\partial \Psi_1}{\partial x} \\ \frac{\partial \Psi_2}{\partial x} \\ \frac{\partial \Psi_3}{\partial x} \\ \frac{\partial \Psi_4}{\partial x} \end{pmatrix} + \begin{pmatrix} 0 & 0 & 0 & -i \end{pmatrix} \cdot \begin{pmatrix} \frac{\partial \Psi_1}{\partial y} \\ \frac{\partial \Psi_2}{\partial y} \\ \frac{\partial \Psi_3}{\partial y} \\ \frac{\partial \Psi_4}{\partial y} \end{pmatrix} + \begin{pmatrix} 0 & 0 & 1 & 0 \end{pmatrix} \cdot \begin{pmatrix} \frac{\partial \Psi_1}{\partial z} \\ \frac{\partial \Psi_2}{\partial z} \\ \frac{\partial \Psi_3}{\partial z} \\ \frac{\partial \Psi_4}{\partial z} \end{pmatrix} + i m \begin{pmatrix} \frac{\partial \Psi_1}{\partial z} \\ \frac{\partial \Psi_2}{\partial z} \\ \frac{\partial \Psi_3}{\partial z} \\ \frac{\partial \Psi_4}{\partial z} \end{pmatrix} \\ -\frac{\partial \Psi_2}{\partial t} &= \begin{pmatrix} 0 & 0 & 1 & 0 \end{pmatrix} \cdot \begin{pmatrix} \frac{\partial \Psi_1}{\partial x} \\ \frac{\partial \Psi_2}{\partial x} \\ \frac{\partial \Psi_3}{\partial x} \\ \frac{\partial \Psi_4}{\partial x} \end{pmatrix} + \begin{pmatrix} 0 & 0 & i & 0 \end{pmatrix} \cdot \begin{pmatrix} \frac{\partial \Psi_1}{\partial y} \\ \frac{\partial \Psi_2}{\partial y} \\ \frac{\partial \Psi_3}{\partial y} \\ \frac{\partial \Psi_4}{\partial y} \end{pmatrix} + \begin{pmatrix} 0 & 0 & 0 & -1 \end{pmatrix} \cdot \begin{pmatrix} \frac{\partial \Psi_1}{\partial z} \\ \frac{\partial \Psi_2}{\partial z} \\ \frac{\partial \Psi_3}{\partial z} \\ \frac{\partial \Psi_4}{\partial z} \end{pmatrix} + i m \begin{pmatrix} \frac{\partial \Psi_2}{\partial z} \\ \frac{\partial \Psi_3}{\partial z} \\ \frac{\partial \Psi_4}{\partial z} \\ \frac{\partial \Psi_1}{\partial z} \end{pmatrix} \\ -\frac{\partial \Psi_3}{\partial t} &= \begin{pmatrix} 0 & 1 & 0 & 0 \end{pmatrix} \cdot \begin{pmatrix} \frac{\partial \Psi_1}{\partial x} \\ \frac{\partial \Psi_2}{\partial x} \\ \frac{\partial \Psi_3}{\partial x} \\ \frac{\partial \Psi_4}{\partial x} \end{pmatrix} + \begin{pmatrix} 0 & -i & 0 & 0 \end{pmatrix} \cdot \begin{pmatrix} \frac{\partial \Psi_1}{\partial y} \\ \frac{\partial \Psi_2}{\partial y} \\ \frac{\partial \Psi_3}{\partial y} \\ \frac{\partial \Psi_4}{\partial y} \end{pmatrix} + \begin{pmatrix} 1 & 0 & 0 & 0 \end{pmatrix} \cdot \begin{pmatrix} \frac{\partial \Psi_1}{\partial z} \\ \frac{\partial \Psi_2}{\partial z} \\ \frac{\partial \Psi_3}{\partial z} \\ \frac{\partial \Psi_4}{\partial z} \end{pmatrix} + i m \begin{pmatrix} \frac{\partial \Psi_3}{\partial z} \\ \frac{\partial \Psi_4}{\partial z} \\ \frac{\partial \Psi_1}{\partial z} \\ \frac{\partial \Psi_2}{\partial z} \end{pmatrix} \\ -\frac{\partial \Psi_4}{\partial t} &= \begin{pmatrix} 1 & 0 & 0 & 0 \end{pmatrix} \cdot \begin{pmatrix} \frac{\partial \Psi_1}{\partial x} \\ \frac{\partial \Psi_2}{\partial x} \\ \frac{\partial \Psi_3}{\partial x} \\ \frac{\partial \Psi_4}{\partial x} \end{pmatrix} + \begin{pmatrix} i & 0 & 0 & 0 \end{pmatrix} \cdot \begin{pmatrix} \frac{\partial \Psi_1}{\partial y} \\ \frac{\partial \Psi_2}{\partial y} \\ \frac{\partial \Psi_3}{\partial y} \\ \frac{\partial \Psi_4}{\partial y} \end{pmatrix} + \begin{pmatrix} 0 & 0 & -1 & 0 \end{pmatrix} \cdot \begin{pmatrix} \frac{\partial \Psi_1}{\partial z} \\ \frac{\partial \Psi_2}{\partial z} \\ \frac{\partial \Psi_3}{\partial z} \\ \frac{\partial \Psi_4}{\partial z} \end{pmatrix} + i m \begin{pmatrix} \frac{\partial \Psi_4}{\partial z} \\ \frac{\partial \Psi_1}{\partial z} \\ \frac{\partial \Psi_2}{\partial z} \\ \frac{\partial \Psi_3}{\partial z} \end{pmatrix} \end{aligned}$$

$$\begin{cases} -\frac{\partial \Psi_1}{\partial t} = \frac{\partial \Psi_4}{\partial x} - i \frac{\partial \Psi_4}{\partial y} + \frac{\partial \Psi_3}{\partial z} + i m \Psi_1 \\ -\frac{\partial \Psi_2}{\partial t} = \frac{\partial \Psi_3}{\partial x} + i \frac{\partial \Psi_3}{\partial y} - \frac{\partial \Psi_4}{\partial z} + i m \Psi_2 \\ -\frac{\partial \Psi_3}{\partial t} = \frac{\partial \Psi_1}{\partial x} - i \frac{\partial \Psi_1}{\partial y} + \frac{\partial \Psi_2}{\partial z} - i m \Psi_3 \\ -\frac{\partial \Psi_4}{\partial t} = \frac{\partial \Psi_2}{\partial x} + i \frac{\partial \Psi_2}{\partial y} - \frac{\partial \Psi_1}{\partial z} - i m \Psi_4 \end{cases}$$

track is 2.5 MeV/c, corresponding to either a slow-moving proton or a fast

Uppträkten av positronen

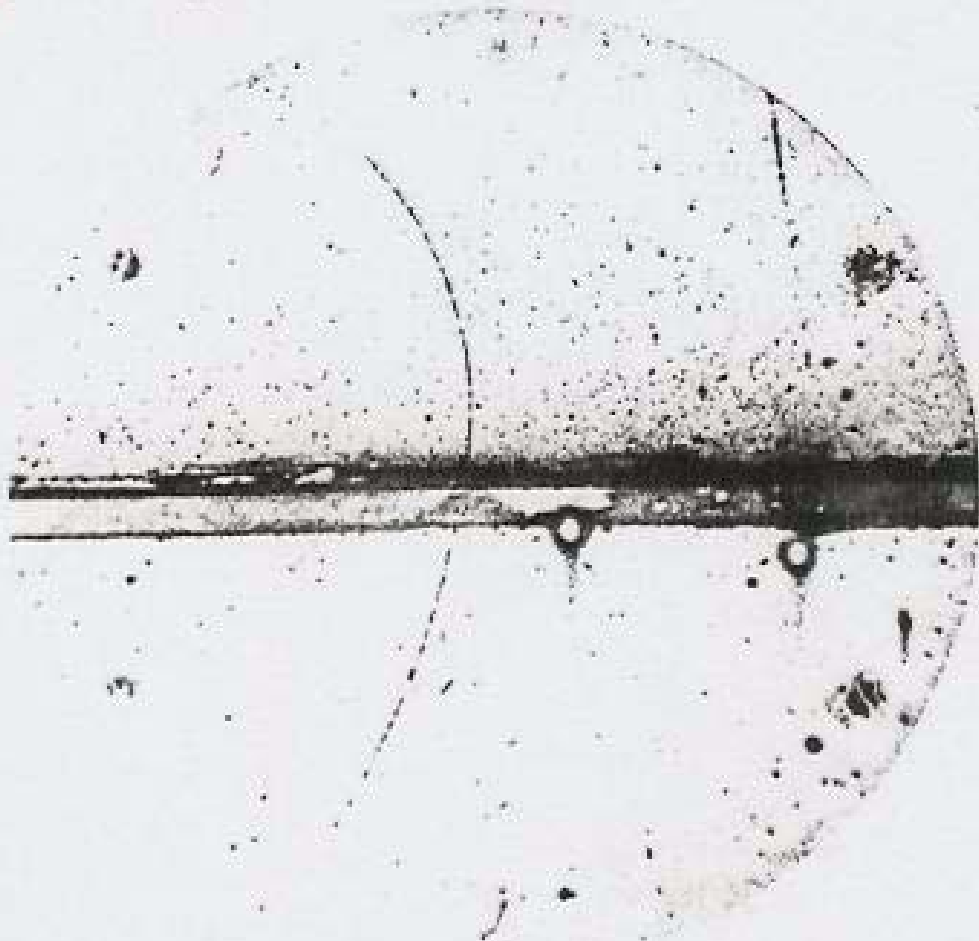


Fig. 1.2 One of the first positron tracks observed by Anderson in a Wilson cloud chamber. The band across the centre of the picture is a lead plate, inserted to slow particles down. The positive sign of the charge and the particle's momentum are deduced from the curvatures of the tracks in the applied magnetic field. That it is a positron, and not a proton, follows from the long range of the upper track. (C. D. Anderson, *Physical Review* 43 (1933) 491.)

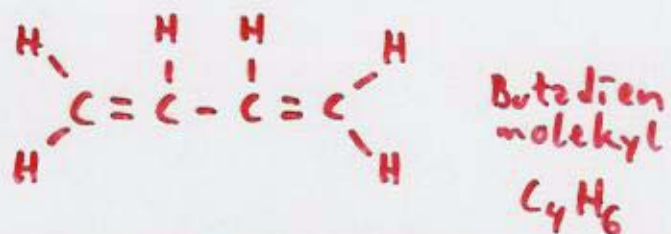
① Feynman diagram

Feynmandiagram
Virtuella fotoner } se boken 1-3
Störningsräkning → se stencil

Feynman Diagram

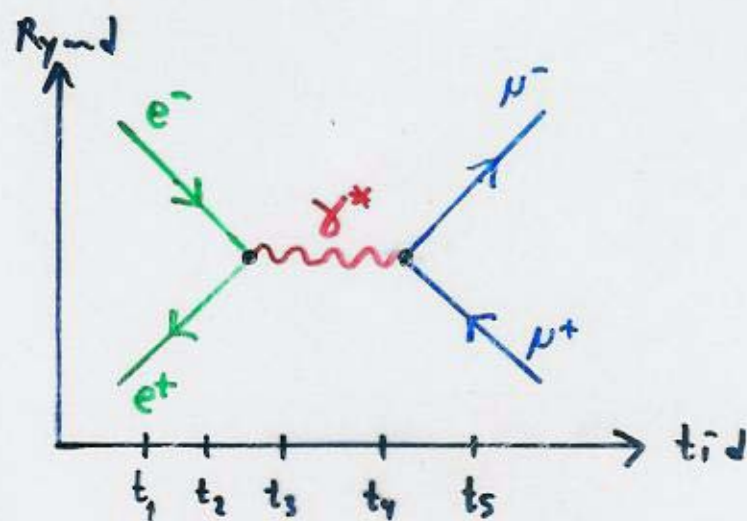
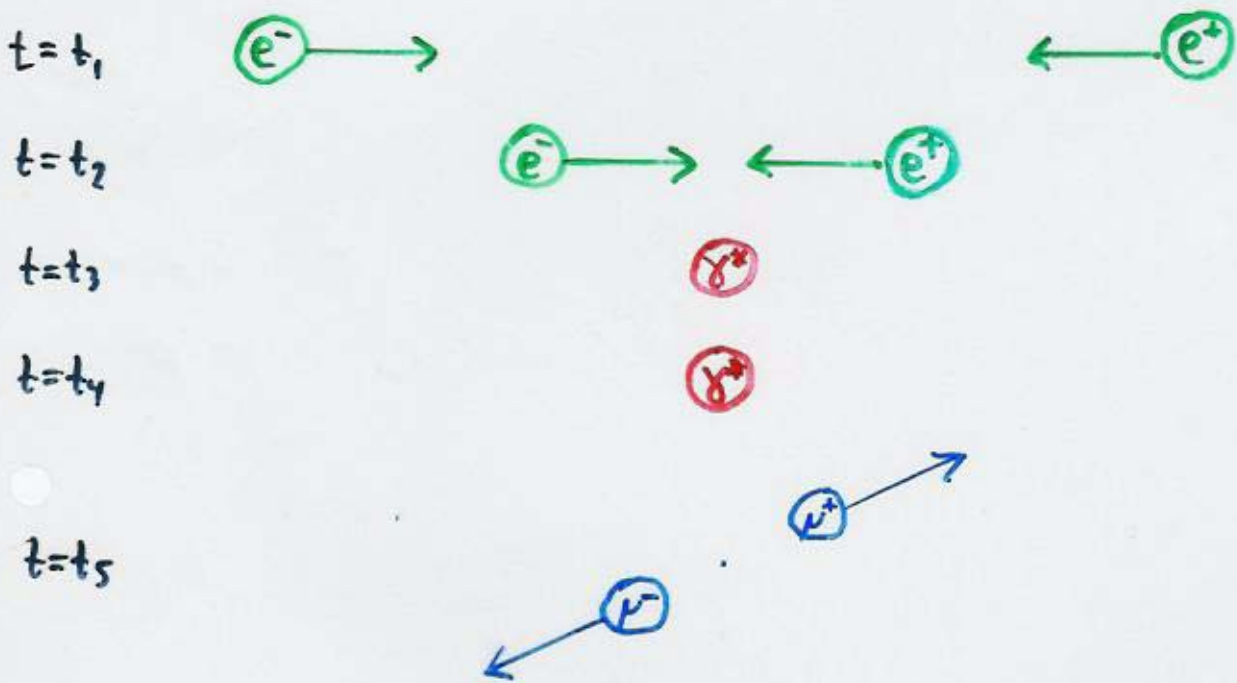
Figurer som visar hur partikelphysik reaktioner äger rum. Är mycket användbara vid beräkningar av hur sannolika olika reaktioner är (dvs vilken trättyta de har).

Jämför med kemins:

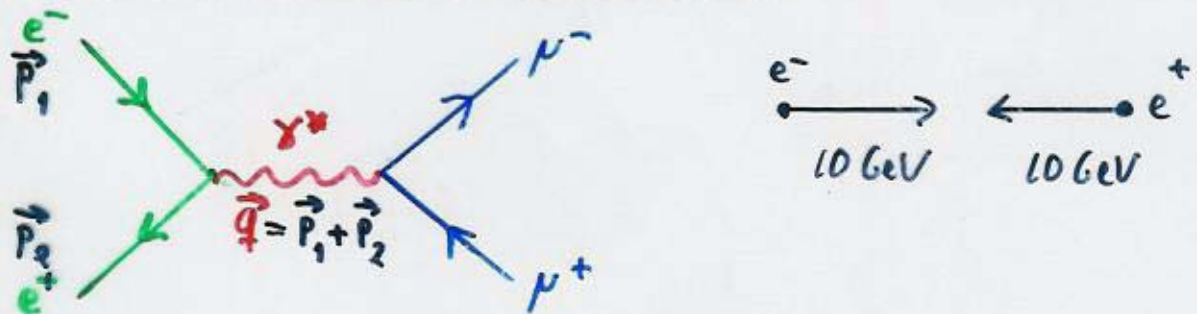


Exempel: e^+e^- -kollision i vilket ett $\mu^+\mu^-$ -par bildas.

$$e^+ + e^- \rightarrow \mu^+ + \mu^-$$



Vad är virtuella fotoner?



Anta $\vec{P}_1 = (10, 0, 0, 10)$ GeV och $\vec{P}_2 = (10, 0, 0, -10)$ GeV
Vad är vilomassan för γ^* ?

$$m_{\gamma^*}^2 = \vec{q} \cdot \vec{q} = (\vec{P}_1 + \vec{P}_2)^2 = 4E_e^2 = 400 \text{ GeV}$$

Men hur är detta möjligt? Vi vet ju att fotonens
vilmassa är 0 GeV ???

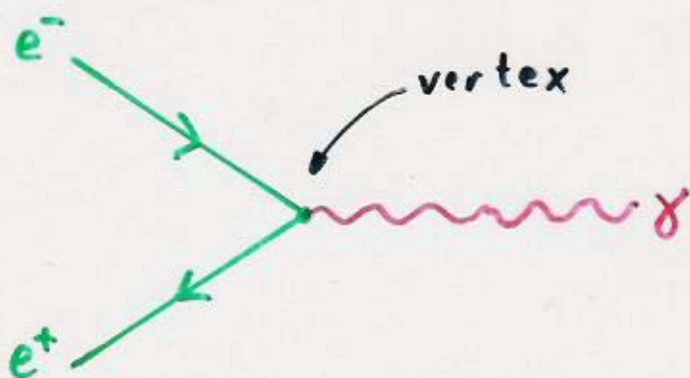
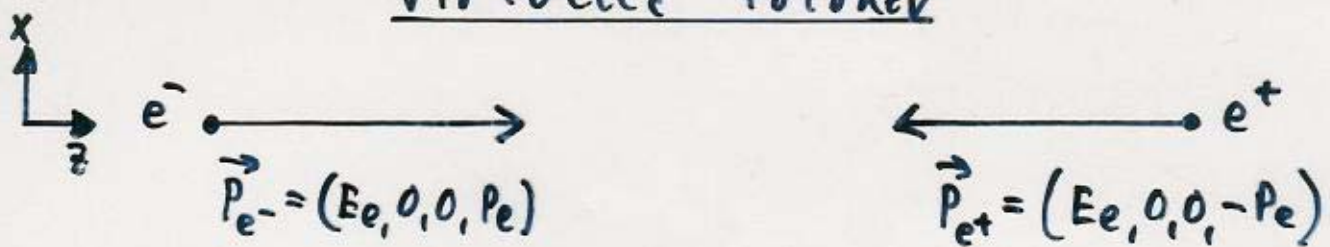
Svar:

Heisenbergs osäkerhetsrelation $\begin{cases} \Delta t \cdot \Delta E \leq \hbar \\ \Delta x \cdot \Delta p \leq \hbar c \end{cases}$
gör det möjligt för fotoner att existera med en massa $\neq 0$ så länge det sker under en tidsperiod $\Delta t \leq \hbar / \Delta E$.

Kortlivade partikel tillstånd med massan \neq vilmassan kallas för virtuella och sägs ha en virtuell massa.

Fria partiklar kan aldrig vara virtuella och dessa kallas därför för reella partiklar och sägs vara på massskalan.

Virtuella fotoner



Konservering av laddning: $Q_{e^-} + Q_{e^+} = Q_\gamma$
 $-1 + 1 = 0$

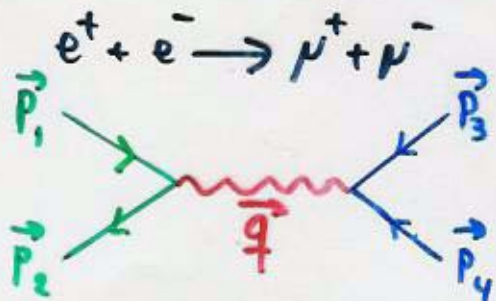
Konservering av Energi: $E_\gamma = E_e + E_e = 2E_e$

Konservering av rörelsenärd: $\bar{P}_\gamma = \bar{P}_{e^-} - \bar{P}_{e^+} = \bar{0}$

$$E_\gamma^2 = P_\gamma^2 + m_\gamma^2 \Rightarrow 4E_e^2 = m_\gamma^2 ?$$

↑
0 ???

"Time-like photon"

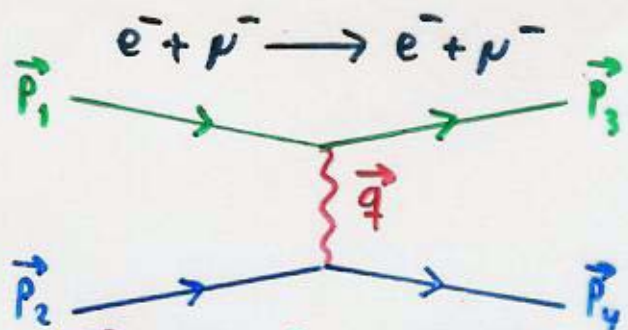


$$\vec{q} = (\vec{p}_1 + \vec{p}_2) = (\vec{p}_3 + \vec{p}_4)$$

$$m_{\gamma^*}^2 = \vec{q} \cdot \vec{q} = s > 0$$

"s-channel exchange"

"Space-like photon"



$$\vec{q} = (\vec{p}_1 - \vec{p}_3) = (\vec{p}_2 - \vec{p}_4)$$

$$m_{\gamma^*}^2 = \vec{q} \cdot \vec{q} = t < 0$$

"t-channel exchange"

Störningsräkning (eng. Perturbation theory)

Schrödingererelationen: $i \frac{d\Psi}{dt} = H\Psi$

Hamilton operatörer: $H = H_0 + H'$

Eigenfunktioner till H_0 : $H_0 u_n = E_n u_n$

Matriselement: $\langle k | H' | l \rangle = \int u_k^* H' u_l d\vec{r}$

Övergångssannolikhet: $P \sim |\langle f | H | i \rangle|^2$ där

$$\langle f | H | i \rangle = \langle f | H' | i \rangle + \sum_n \frac{\langle f | H' | n \rangle \langle n | H' | i \rangle}{E - E_n} + \sum_{n,m} \frac{\langle f | H' | n \rangle \langle n | H' | m \rangle \langle m | H' | i \rangle}{(E - E_n)(E - E_m)}$$

$$+ \sum_{n,m,k} \dots \dots \dots$$

dvs

$$\langle f | H | i \rangle = 0:\text{te ordningens matris element} + 1:\text{a ord. matriselement} + 2:\text{a ordningens matris element} + \dots \dots \dots$$

Störningsräkning med feynndiagram

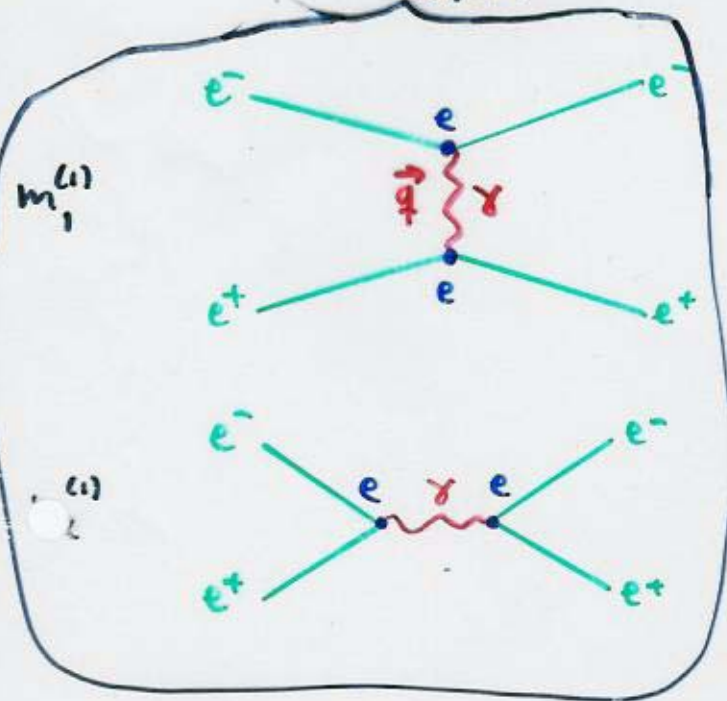
Exempel: Vad är sannolikheten för processen $e^+e^- \rightarrow e^+e^-$?

1. Bestäm vad initial och final tillståenden är.
2. Välj alla Feynndiagram med vilka man kan förbinda initial och final tillstånd.
3. Bestäm den kvantmekaniska amplituden för varje diagram.
4. Sannolikheten för processen blir då $P \sim |M|^2$

$$M = m_1^{(1)} + m_2^{(1)} + \underbrace{m_1^{(2)} + m_2^{(2)} + m_3^{(2)} + m_4^{(2)} + \dots}_{\text{andra ordningens diagram}}$$

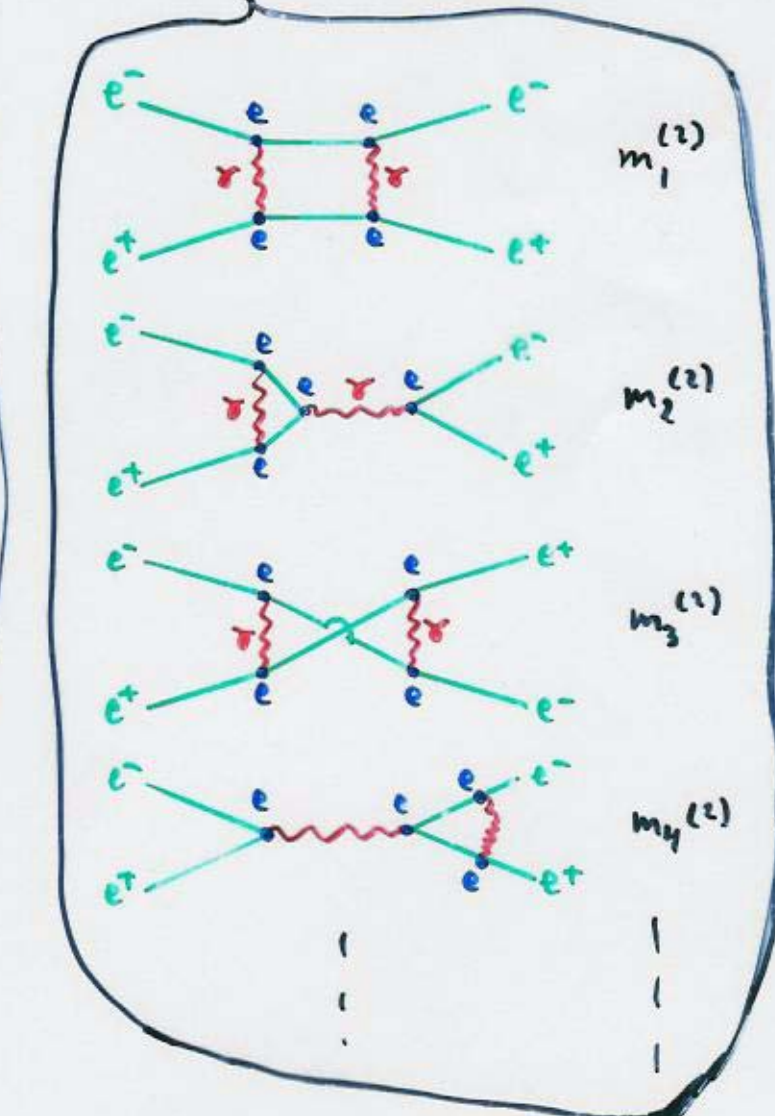
första
ordningens
diagram

andra ordningens diagram



$m_1^{(1)}$

$m_2^{(1)}$



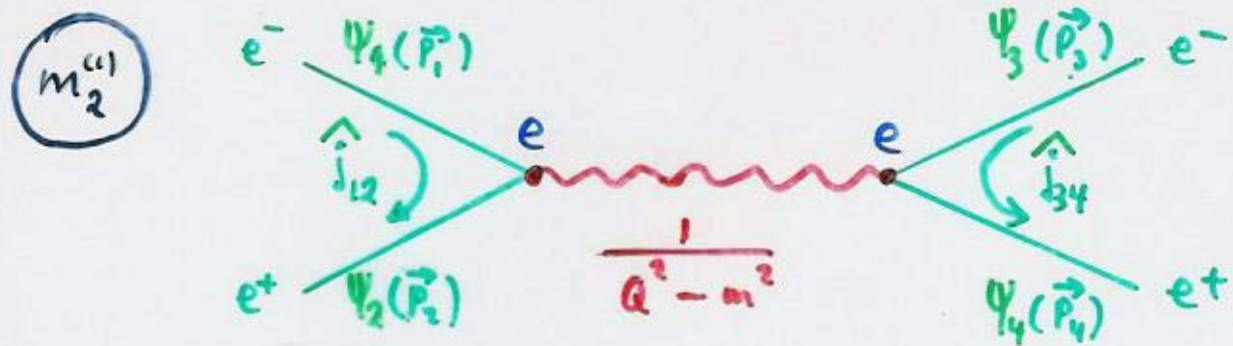
$m_1^{(2)}$

$m_2^{(2)}$

$m_3^{(2)}$

$m_4^{(2)}$

Utvärdering av ett Feynman diagram



$$m_2^{(1)} \sim e \langle \Psi_2 | \hat{j}_{12} | \Psi_1 \rangle \cdot \frac{1}{\vec{q} \cdot \vec{q} - m^2} \cdot e \langle \Psi_4 | \hat{j}_{34} | \Psi_3 \rangle$$

$\Psi_1, \Psi_2, \Psi_3, \Psi_4$: Vägfuncioner för inkommande och utgående partiklar. I detta fall elektronen.

e : Kopplingskonstanten. I detta fall elektron laddningen.

$\hat{j}_{12}, \hat{j}_{34}$: "Current density operators". Beskriver flöded av laddning. I detta fall elektrisk laddning.

$G = \frac{1}{\vec{q} \cdot \vec{q} - m^2}$: "The propagator term"

$Q^2 = \vec{q} \cdot \vec{q}$: Den virtuella massan.

m_2 : Vilo massan

Om partikeln som förmedlar växelverkan är en foton så blir $G_F = \frac{1}{Q^2}$

Om partikeln som förmedlar växelverkan är en Z-boson så blir $G_Z = \frac{1}{Q^2 - m_Z^2}$

Eftersom m_Z är mycket stor (92 GeV) så blir svag växelverkan mycket mer osannolik än elektromagnetisk växelverkan

$\alpha = \frac{e^2}{4\pi} \approx \frac{1}{137}$ Finstrukturkonstanten

Om P_1 är sannolikheten för första ordningens processer och P_2 är sannolikheten för andra ordningens processer gäller $\frac{P_2}{P_1} \sim \frac{\alpha^4}{\alpha^2} = \alpha^2 \approx \left(\frac{1}{137}\right)^2$

• Lagrange formulism

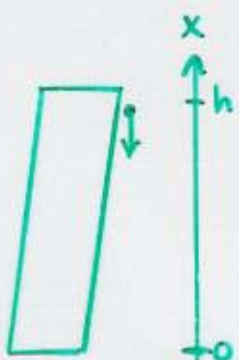
Lagrangefunktionen
"The principle of least action" } se stencil

Lagrange rörelseekvation

Newton: Rörelselagen som innehåller krafter är postulerade.

Lagranget
Hamilton: En potensial är postulerad. En kropp kommer sedan att följa en viss bana som bestäms av lagen för "the least action".

Exempel:



Släpp en sten från det lutande tornet i Pisa.

Lagrange funktionen:

$$L = E_k - E_p \quad (\text{jmf } H = E_k + E_p)$$

eller mer allmänt

$$L(q(t), \dot{q}(t)) = T(q, \dot{q}) - V(q, \dot{q})$$

där $q(t)$ är positionen vid tiden t

$\dot{q}(t)$ är hastigheten vid tiden t

Exempel: $q(t) = x$

$$\dot{q}(t) = \dot{x}$$

$$L(q, \dot{q}) = \frac{1}{2}m\dot{x}^2 - mgx$$

Lagen om "the least action"

"Action" S definieras som $S = \int_{t_1}^{t_2} L(q, \dot{q}) dt$

Lagen om "the least action" säger att

"En kropp följer den rörelsebanan som gör att S blir minimum".

Euler-Lagrange rörelselag

$$S = \text{minimum} \Rightarrow \frac{\delta L}{\delta q} - \frac{\partial}{\partial t} \frac{\delta L}{\delta \dot{q}} = 0$$

Exempel:

$$L(q, \dot{q}) = \frac{1}{2} m \dot{x}^2 - mgx$$

$$\frac{\delta L}{\delta q} = \frac{\partial L}{\partial x} = -mg = F$$

$$\frac{\delta L}{\delta \dot{q}} = \frac{\partial L}{\partial \dot{x}} = m\ddot{x}$$

$$F = m \cdot a \quad \text{Newtons rörelselag}$$

Lagrange formulism i kvantmekanik

I kvantmekanik kan man antingen göra som Schrödinger och låta vågvärdigfunktionerna bero av t men inte operatorerna.

Eller svärda sig av Heisenbergs beskrivning och låta operatorerna bero av t men inte vågvärdigfunktionerna.

Med Heisenbergs beskrivning blir det naturligt att översätta $q(t)$ och $\dot{q}(t)$ med operatorer.

Relativitets teori

För att ta hänsyn till relativistiska effekter inför vi "The Lagrangian density function" \mathcal{L} som definieras:

$$L = \int \mathcal{L} d\bar{r}$$

och då gäller:

$$S = \int \mathcal{L} d\vec{r}$$

Summerring: I den kvantmekanik som vi har arbetat med (Schrödinger formulism) gäller det att hitta Hamiltonoperatorn för ett system. Här man H kan man sedan i princip beräkna sannolikheter av olika slag.

I teoretisk partikelphysik gäller det att hitta den rätta $\mathcal{L}(\Psi, \partial_\mu \Psi)$ där $\partial_\nu = (\frac{\partial}{\partial t}, \frac{\partial}{\partial x}, \frac{\partial}{\partial y}, \frac{\partial}{\partial z})$. Sedan minimerar $S = \int \mathcal{L} d\vec{r}$ med avseende på Ψ och $\partial_\nu \Psi$. Detta ger oss rörelseekvationer som beskriver systemet.

Lagrangian fältteori

1. Sök "the Lagrangian" $\mathcal{L}(\Psi, \partial_\mu \Psi)$

2. "The Action" ges zu $S = \int \mathcal{L} d\vec{r}$

3. Lägen om "least action" $\delta S = 0$ dvs

$$\int \frac{\delta \mathcal{L}}{\delta \Psi} \delta \Psi + \frac{\delta \mathcal{L}}{\delta (\partial_\mu \Psi)} \partial_\mu \delta \Psi d\vec{r} = 0$$

4. ger rörelselagen $\frac{\delta \mathcal{L}}{\delta \Psi} - \partial_\mu \frac{\delta \mathcal{L}}{\delta (\partial_\mu \Psi)} = 0$

5. En transformation \underline{U} ger $\Psi' = \underline{U} \Psi$

6. Invarians under $\underline{U} \Rightarrow \mathcal{L}(\Psi') = \mathcal{L}(\Psi)$

Exempel

"The Lagrangian" för en elektron kan skrivas

$$\mathcal{L} = i \bar{\Psi} \frac{\partial}{\partial \vec{r}} \Psi - m \bar{\Psi} \Psi$$

Genom att minimera

$$S = \int \mathcal{L} d\vec{r}$$

kan man få

Dirac ekvationen

Exempel

"The Lagrangian" för elektromagnetiska fält är tex

$$\mathcal{L} = \frac{1}{4} F_{\mu\nu} F^{\mu\nu} - \bar{J}^\nu A_\nu$$

Genom att minimera

$$S = \int \mathcal{L} d\vec{r}$$

för van Maxwells ekvationer vilka kan skrivas

$$\bar{B} = \nabla \times \bar{A}$$

$$\bar{E} = -\frac{\partial \bar{A}}{\partial t} - \nabla \phi$$

där

$$\begin{cases} \bar{B} : \text{Det magnetiska fältet} \\ \bar{E} : \text{Det elektriska fältet} \\ A_\nu = (\phi, \bar{A}) : 4\text{-vektor potenialen} \end{cases}$$